

Фрактальная размерность траектории и область локализации колloidной частицы в плазме: численное моделирование

Косс К.Г., Лисина И.И., Петров О.Ф.

ОИВТ РАН
МФТИ

*Scientific-Coordination Workshop on
Non-Ideal Plasma Physics
December 7-8, 2023,
Moscow, Russia*



Активные броуновские частицы



ScienceNews
MAGAZINE OF THE SOCIETY FOR SCIENCE & THE PUBLIC

Like birds of a feather, sperm flock together

Fluid dynamics of medium leads to collective swimming

By Tom Siegfried 3:39pm, March 17, 2016 Citations

Fluctuation and Noise Letters
Vol. 4, No. 1 (2004) L151–L159
© World Scientific Publishing Company



RANDOM WALK THEORY APPLIED TO DAPHNIA MOTION

NIKO KOMIN*, UDO ERDMANN† and LUTZ SCHIMANSKY-GEIER



Analyzing Insect Movement
as a Correlated Random Walk

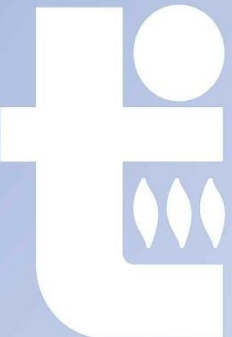
P.M. Kareiva¹ and N. Shigesada²

doi:10.1038/nature09116

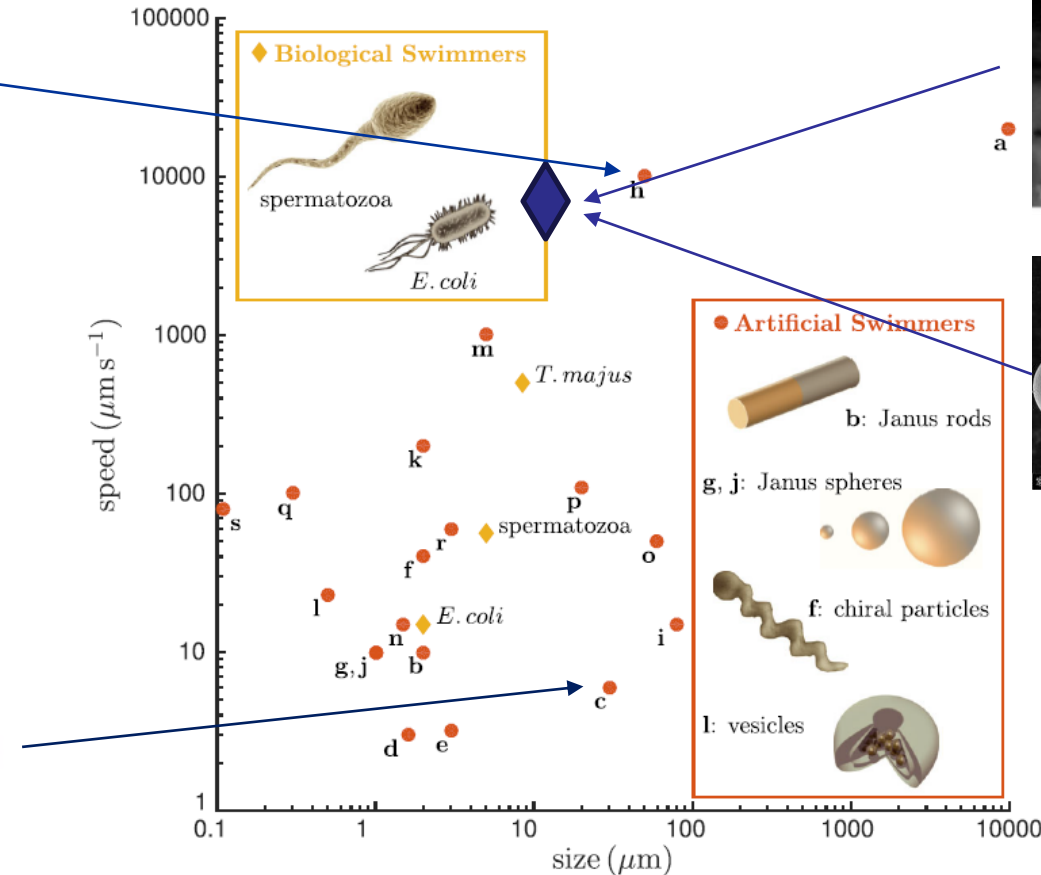
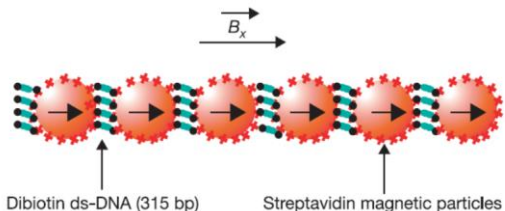
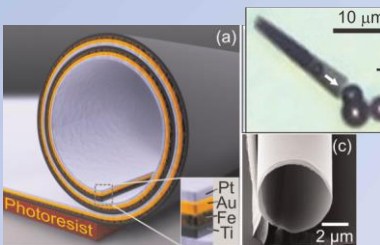


Environmental context explains Lévy and Brownian movement patterns of marine predators

Nicolas E. Humphries^{1,2}, Nuno Queiroz^{1,3,4}, Jennifer R. M. Dyer¹, Nicolas G. Pade^{1,4}, Michael K. Musyl⁵,



Искусственные и природные активные броуновские частицы



C. Bechinger, R. Di Leonardo, H. Löwen, C. Reichhardt,
G. Volpe and Giov. Volpe, Rev. Mod. Phys. **88**, 045006 (2016)



Как измерить сложность объекта?



Сложность описания [бит]

- Информация
- Энтропия
- Алгоритмическая сложность
- Минимальная длина описания
- Энтропия Ренни
- Длина программного кода
- Размерность
- **Фрактальная размерность**
- Сложность Лемпеля-Зива



Сложность создания [время / энергия / деньги]

- Вычислительная сложность
- Информационная сложность
- Логическая глубина
- Термодинамическая глубина
- Стоимость
- Закодированность

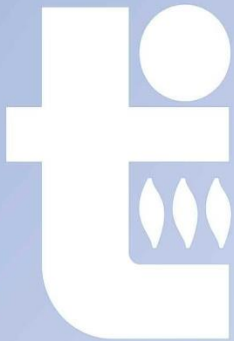


Степень организации

- Эффективная сложность
- Метрическая энтропия
- **Фрактальная размерность**
- Избыточная энтропия
- Стохастическая сложность
- Степень детализации
- Эффективная сложность измерения
- Иерархическая сложность
- Грамматическая сложность
- Взаимная информация
- Пропускная способность канала
- Корреляция
- Хранимая информация
- Организация

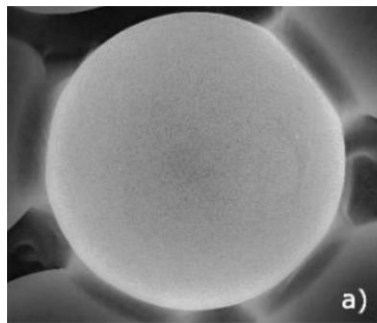


Seth Lloyd (1960 -) prof. of mechanical engineering and physics at MIT

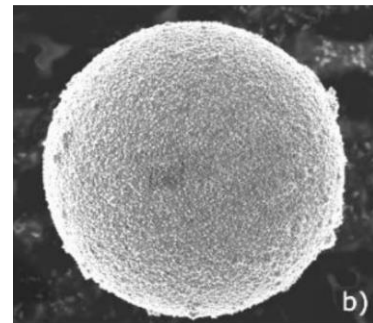


Эксперименты в коллоидной плазме

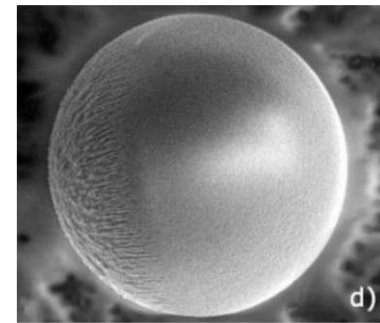
- Одна частица ~10 мкм в ловушке 35 мм
- ВЧ разряд, аргон
- мощность лазера 0,05 – 1,5 Вт



MF

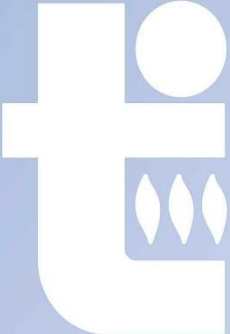


MF+Cu



Янус MF+Fe

Arkar, K.; Vasiliev, M.M.; Petrov, O.F.; Kononov, E.A.; Trukhachev, F.M.
Dynamics of Active Brownian Particles in Plasma.
Molecules **2021**, *26*(3), 561.



Параметры моделирования

$$m\ddot{\mathbf{r}} = \mathbf{F}_{\text{fr}} + \mathbf{F}_{\text{Br}} + \mathbf{F}_A + \mathbf{F}_0$$

$$\mathbf{F}_{\text{fr}} = -m\nu_{\text{fr}}\dot{\mathbf{r}}$$

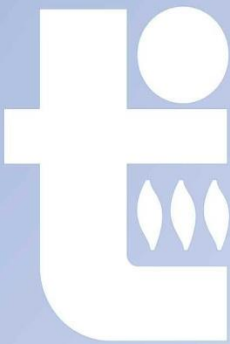
$$\langle F_{Br}^x(0)F_{Br}^x(t) \rangle = 2\nu_{\text{fr}} \frac{T \cdot \Delta t}{m} \delta(t)$$

$$\mathbf{F}_0 = -\nabla \mathbf{U}_0 = -m\omega_0^2 \mathbf{r}$$

$$\mathbf{F}_A = F_A \mathbf{n}(t)$$

rotational diffusion coefficient $\omega = \frac{3D_T}{4R^2}$

translational short-time diffusion coefficient $D_T = \frac{T}{\nu_{\text{fr}} m}$

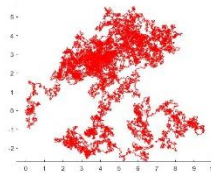
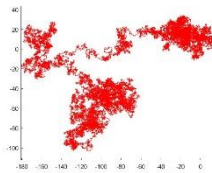
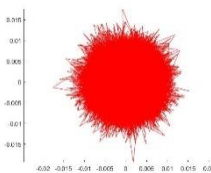
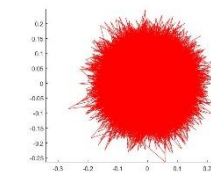
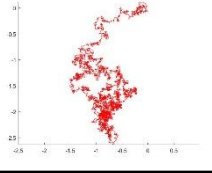
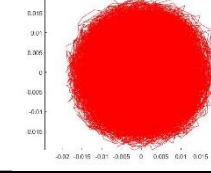
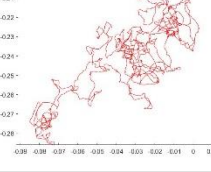
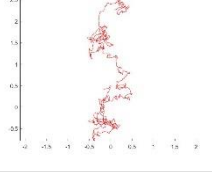
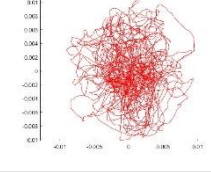
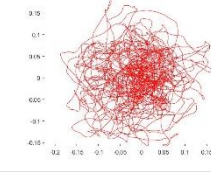
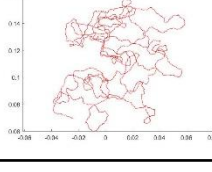
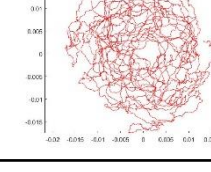


Параметры моделирования

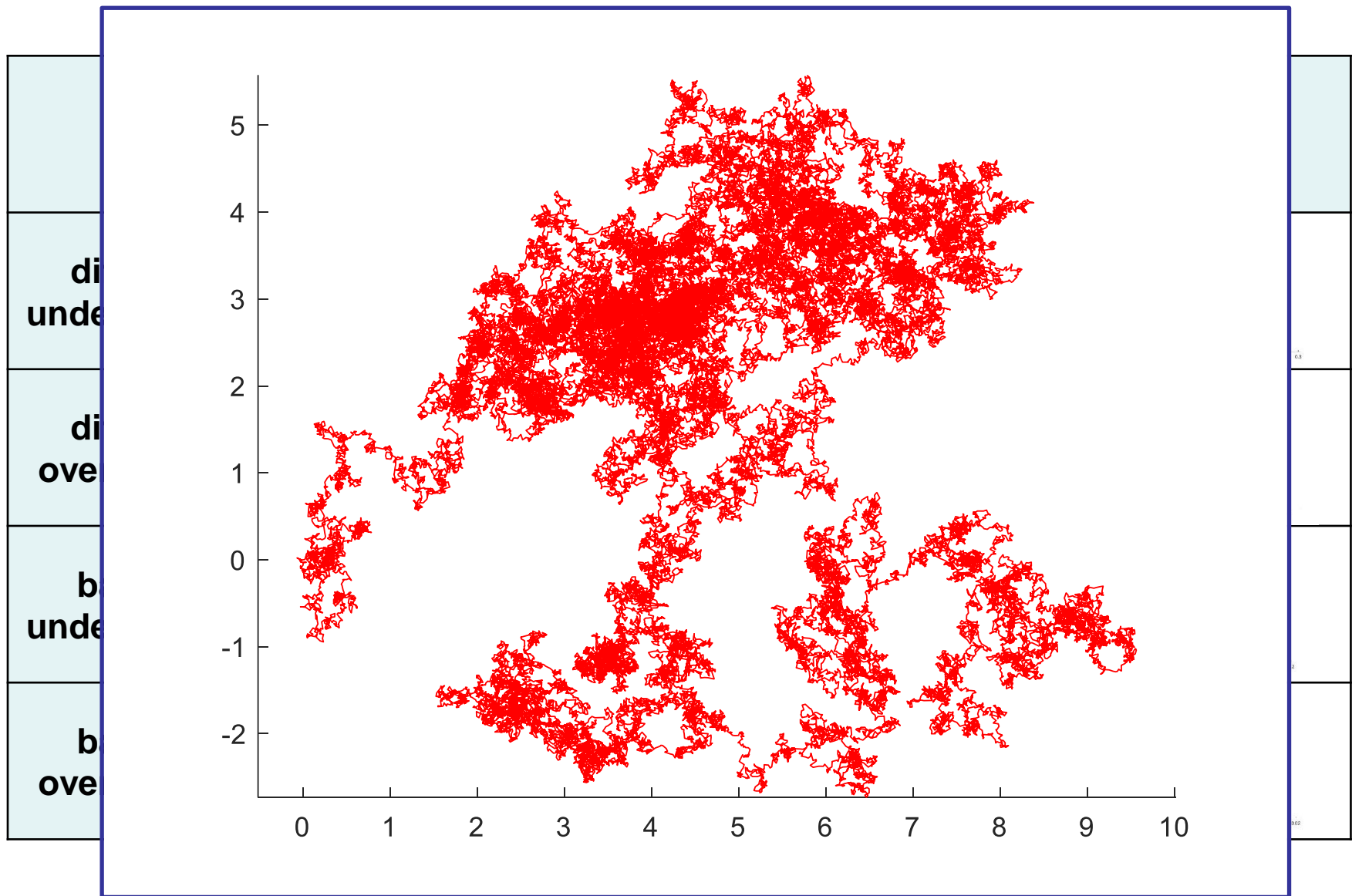
$$m\ddot{\mathbf{r}} = \mathbf{F}_{fr} + \mathbf{F}_{Br} + \mathbf{F}_A + \mathbf{F}_0$$

	active/ passive v_{sp} [cm/s]	trapped/free ω_0^2 [s ⁻²]	underdamped/ overdamped v_{fr}/ω	ballistic/ diffusive $dt \cdot v_{fr}$
“Diffusive”	0	0	0.1	100
	0	4	0.1	100
	0.56	0	0.1	100
	0.56	4	0.1	100
“Ballistic”	0	0	0.1	0.01
	0	4	0.1	0.01
	0.56	0	0.1	0.01
	0.56	4	0.1	0.01
Active free	0.01	0	100	0.01
	0.01	0	100	1
	0.01	0	100	100
	0.01	0	100	200
Active trapped	0.01	60	100	0.01
	0.01	60	100	1
	0.01	60	100	100
	0.01	60	100	200

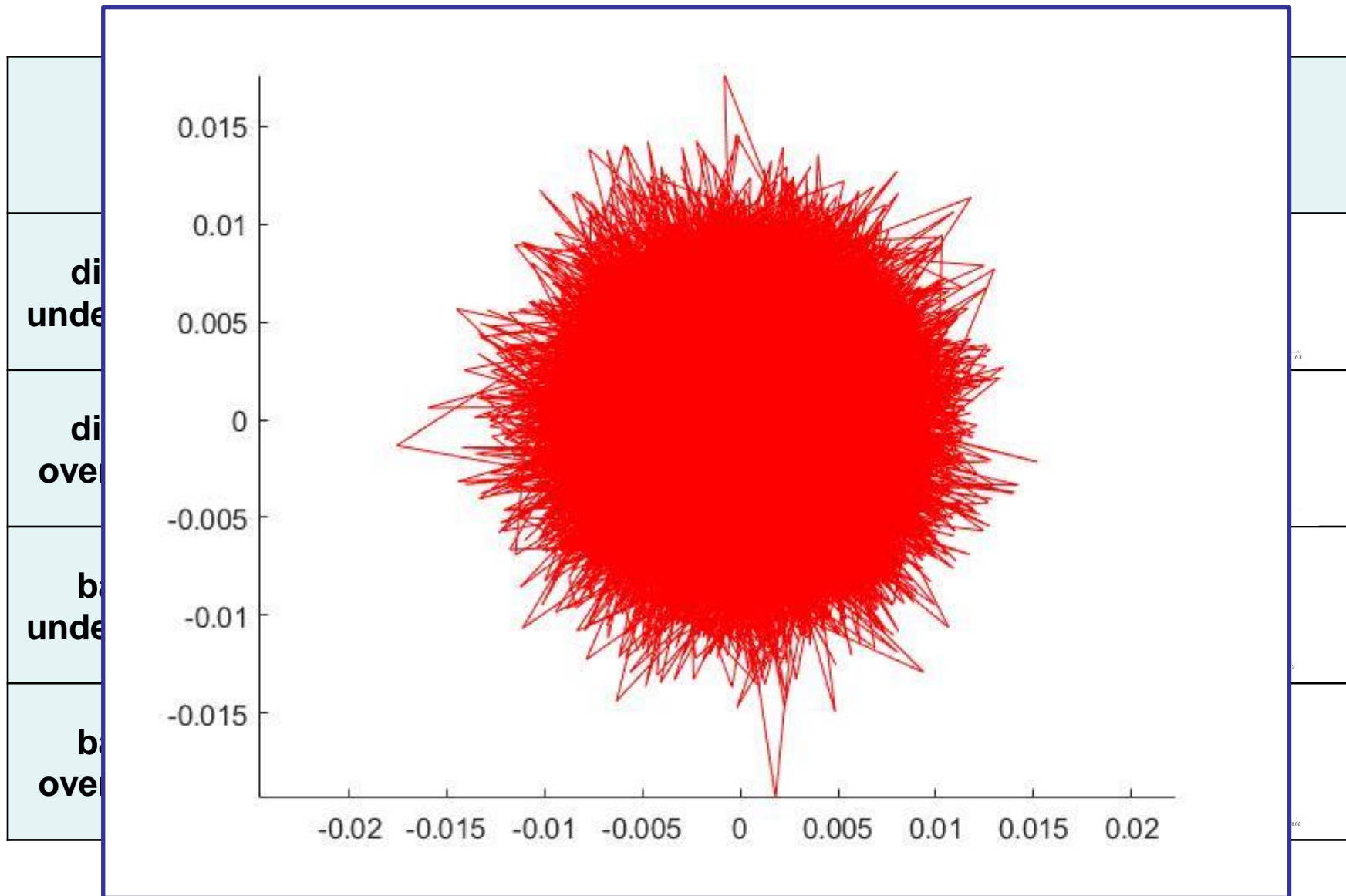
Траектории

	free passive	free active	trapped passive	trapped active
diffusive underdamped				
diffusive overdamped				
ballistic underdamped				
ballistic overdamped				

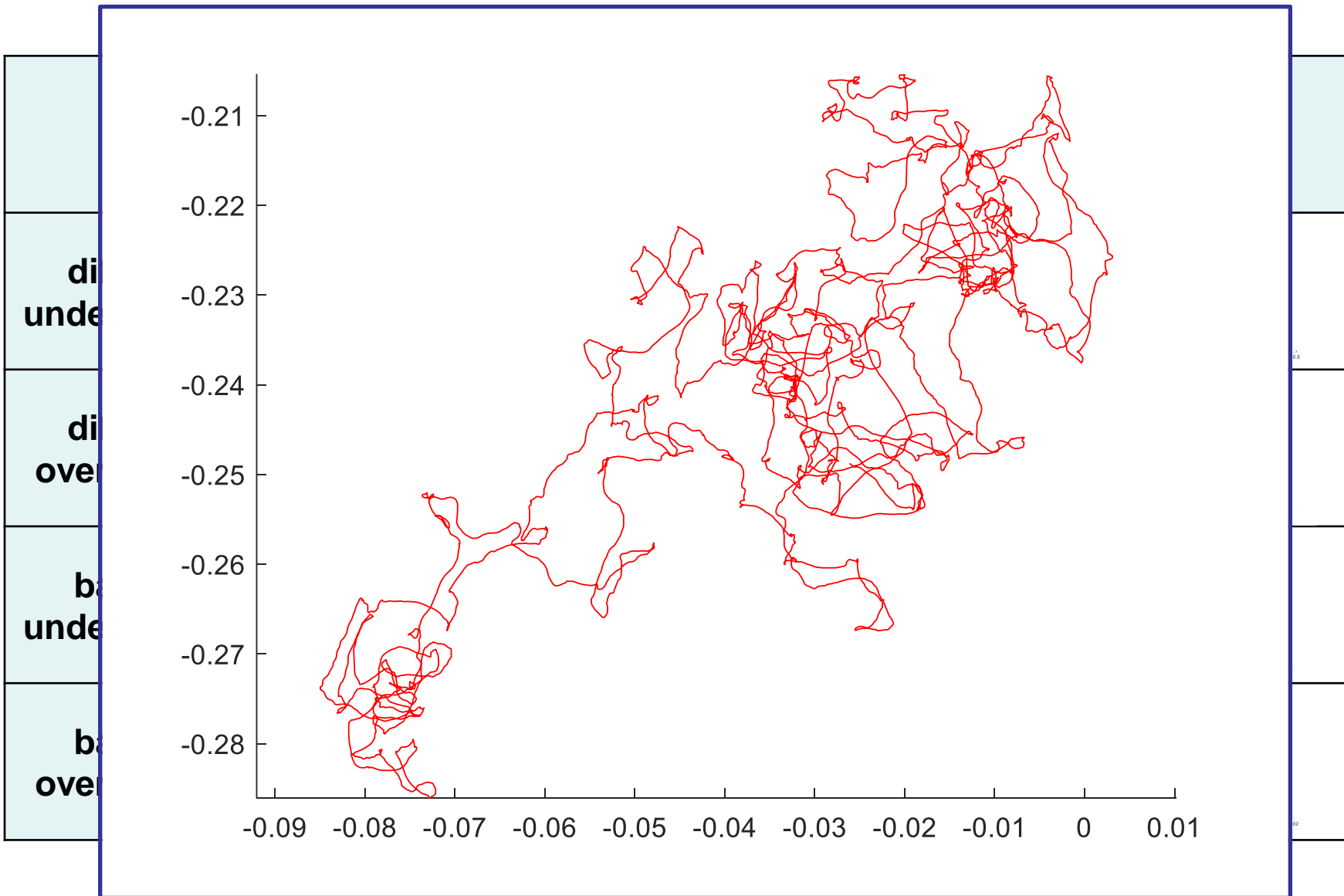
Траектории



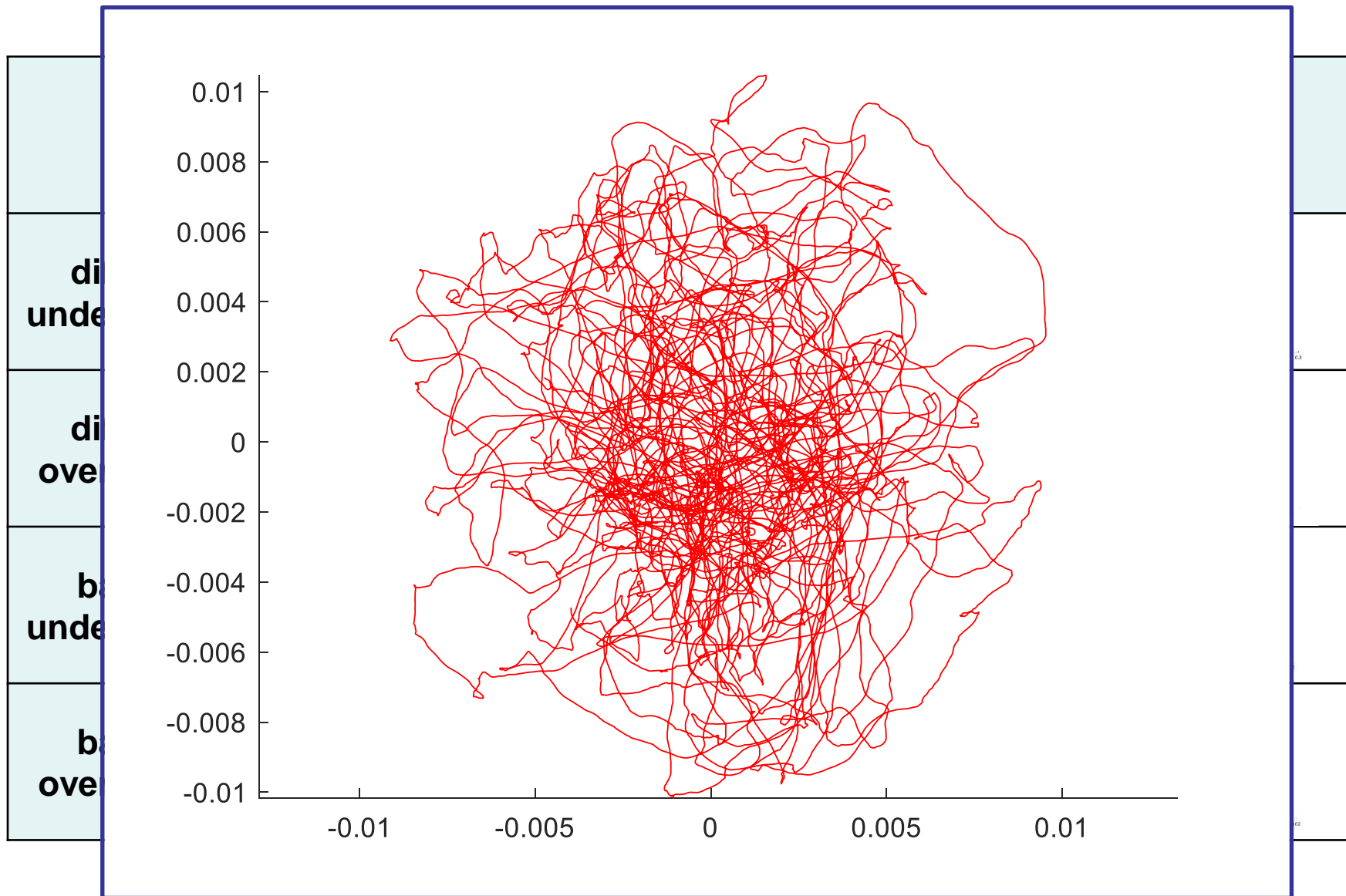
Траектории



Траектории



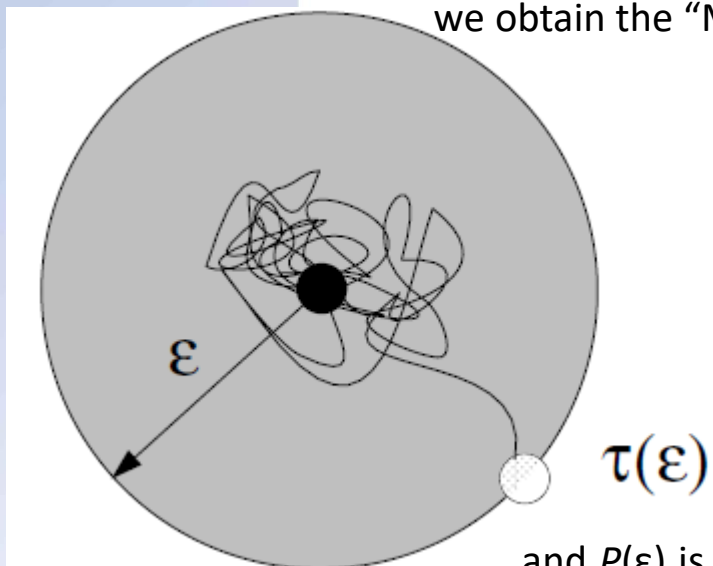
Траектории





Динамическая энтропия “первого пересечения” *

Provided that the spatial scale ε isn't very small, one can estimate the dynamic entropy by drawing up the sphere of radius ε around the particle in the moment $t = 0$, and then finding the moment of time τ , when the trajectory first passes the threshold value ε . Averaging this mean first-passage time, MFPT $\tau(\varepsilon)$ over all the particles of the system, we obtain the “MFPT dynamic entropy” $S(\varepsilon)$:

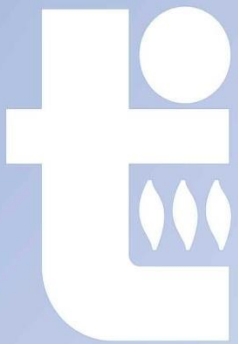


$$S(\varepsilon) \equiv 1/\tau(\varepsilon),$$

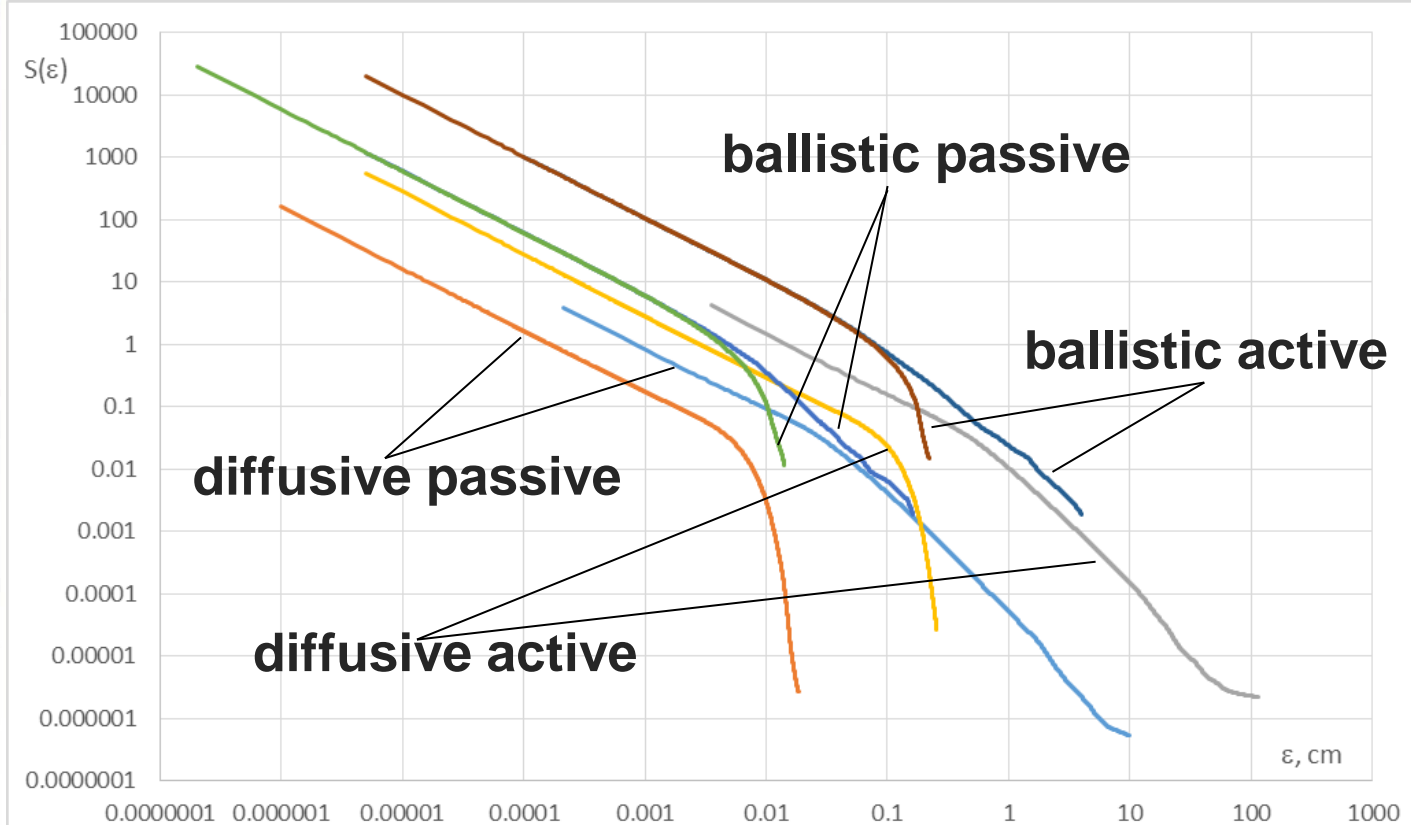
where

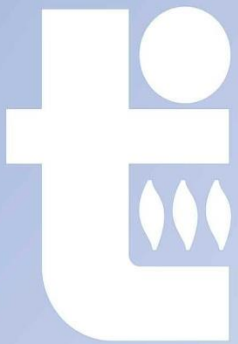
$$\tau(\varepsilon) = \int_0^{\infty} P_{\varepsilon}(t) t dt$$

and $P(\varepsilon)$ is the probability of the particle to reach the border of the sphere ε in the moment of time between t and $t + dt$. So, the dynamic entropy $S(\varepsilon)$ shows how fast the particle leaves its environment.

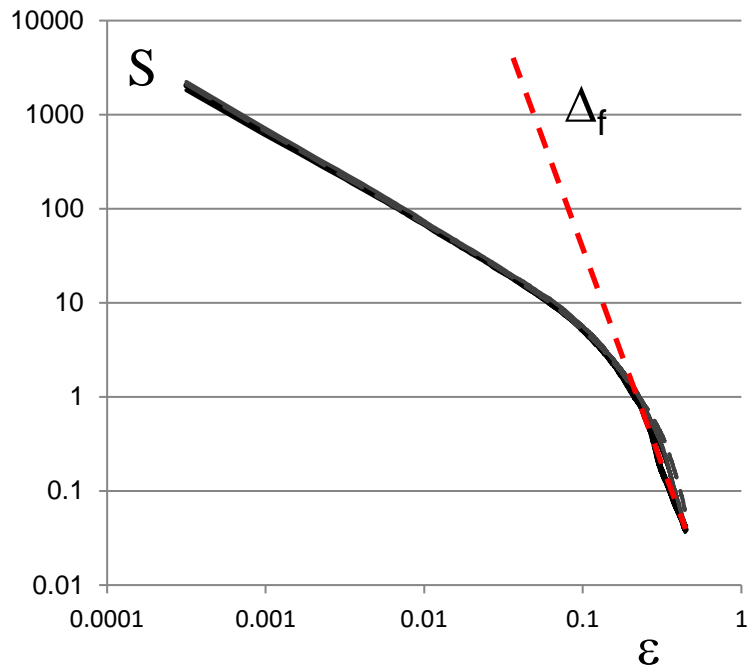


Динамическая энтропия



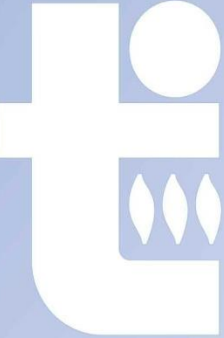


Применение метода MFPT-энтропии



$$S(\varepsilon) \sim \varepsilon^{-\Delta_f}$$

$$d(\log(S(\varepsilon)))/d(\log(\varepsilon)) = ?$$

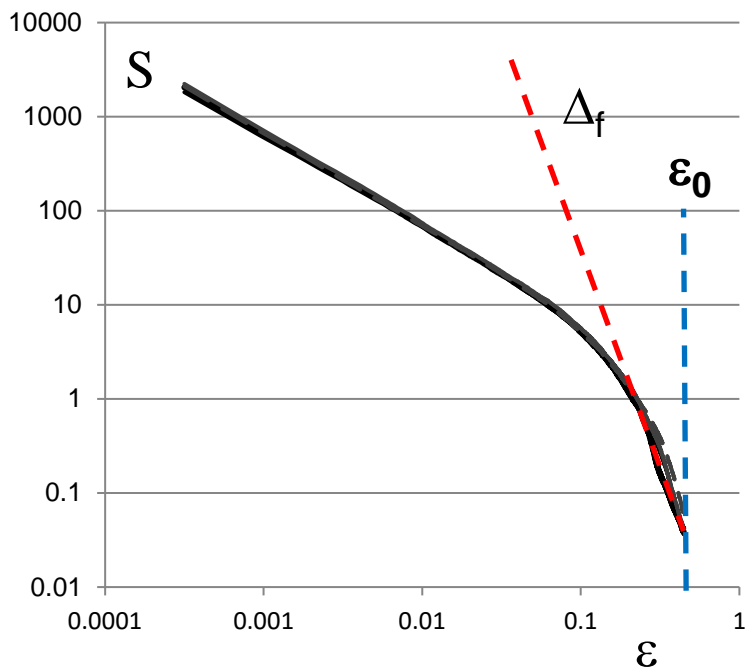


Фрактальная размерность

	active/passive V_{sp} [cm/s]	trapped/free ω_0^2 [s^{-2}]	underdamped/ overdamped v_{fr}/ω	ballistic/ diffusive $dt \cdot v_{fr}$	FD	Err FD
“Diffusive”	passive	free	underdamped	diffusive	1.83	0.07
	passive	trapped	underdamped	diffusive	2.44	0.68
	active	free	underdamped	diffusive	1.84	0.07
	active	trapped	underdamped	diffusive	2.30	0.65
“Ballistic”	passive	free	underdamped	ballistic	1.67	0.09
	passive	trapped	underdamped	ballistic	1.77	0.32
	active	free	underdamped	ballistic	1.66	0.09
	active	trapped	underdamped	ballistic	1.72	0.30
Active free	active	free	overdamped	ballistic	1.30	0.07
	active	free	overdamped	ballistic	1.54	0.09
	active	free	overdamped	diffusive	1.78	0.10
	active	free	overdamped	diffusive	2.02	0.12
Active trapped	active	trapped	overdamped	ballistic	1.23	0.06
	active	trapped	overdamped	ballistic	1.39	0.14
	active	trapped	overdamped	diffusive	1.43	0.22
	active	trapped	overdamped	diffusive	1.41	0.25



Применение метода MFPT-энтропии



$$S(\varepsilon) \sim (\varepsilon)^{-\gamma}$$

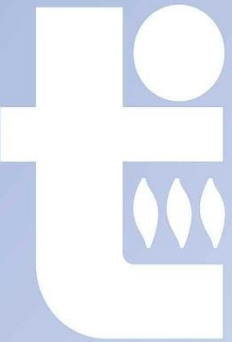
$$d(\log(S(\varepsilon)))/d(\log(\varepsilon)) = ?$$

$$\varepsilon_0 = ?$$

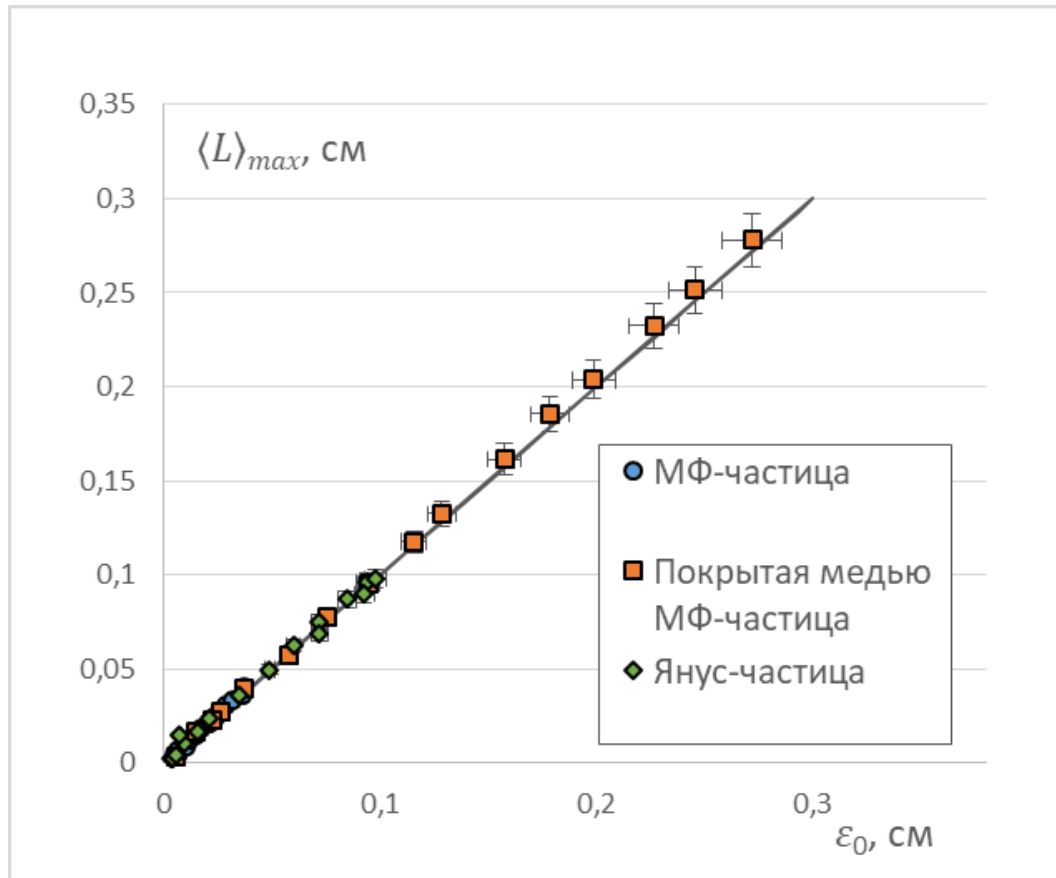


Область локализации частич

	active/ passive	trapped/free	underdamped/ overdamped	ballistic/ diffusive	ϵ_0
“Diffusive”	passive	free	underdamped	diffusive	9.40
	passive	trapped	underdamped	diffusive	0.02
	active	free	underdamped	diffusive	142.34
	active	trapped	underdamped	diffusive	0.27
“Ballistic”	passive	free	underdamped	ballistic	0.19
	passive	trapped	underdamped	ballistic	0.01
	active	free	underdamped	ballistic	3.36
	active	trapped	underdamped	ballistic	0.23
Active free	active	free	overdamped	ballistic	0.06
	active	free	overdamped	ballistic	0.19
	active	free	overdamped	diffusive	0.31
	active	free	overdamped	diffusive	0.43
Active trapped	active	trapped	overdamped	ballistic	0.02
	active	trapped	overdamped	ballistic	0.02
	active	trapped	overdamped	diffusive	0.02
	active	trapped	overdamped	diffusive	0.02



Связь максимального среднего смещения и области локализации*



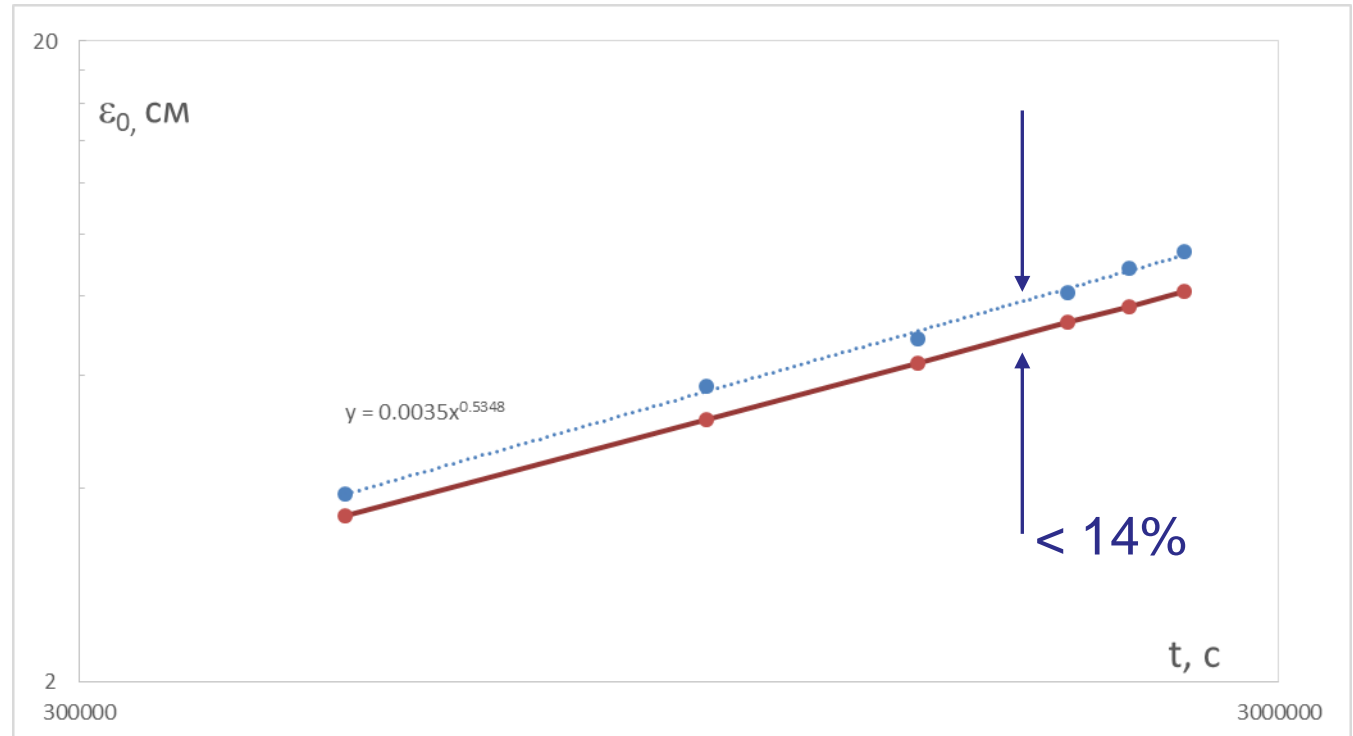
*Косс К.Г., Лисина И.И., Васильев М.М., Алексеевская А.А., Кононов Е.А., Петров О.Ф.
Фрактальное броуновское движение коллоидных частиц в плазме
// Физика плазмы. - 2023. - Т. 49. - №1. - С. 33-41.



Область локализации

Diffusive-passive-free-underdamped

$$\langle x_T^2(t) \rangle = 2D_T t \left\{ 1 + \frac{\exp(-\nu_{fr}t) - 1}{\nu_{fr}t} \right\}^*$$



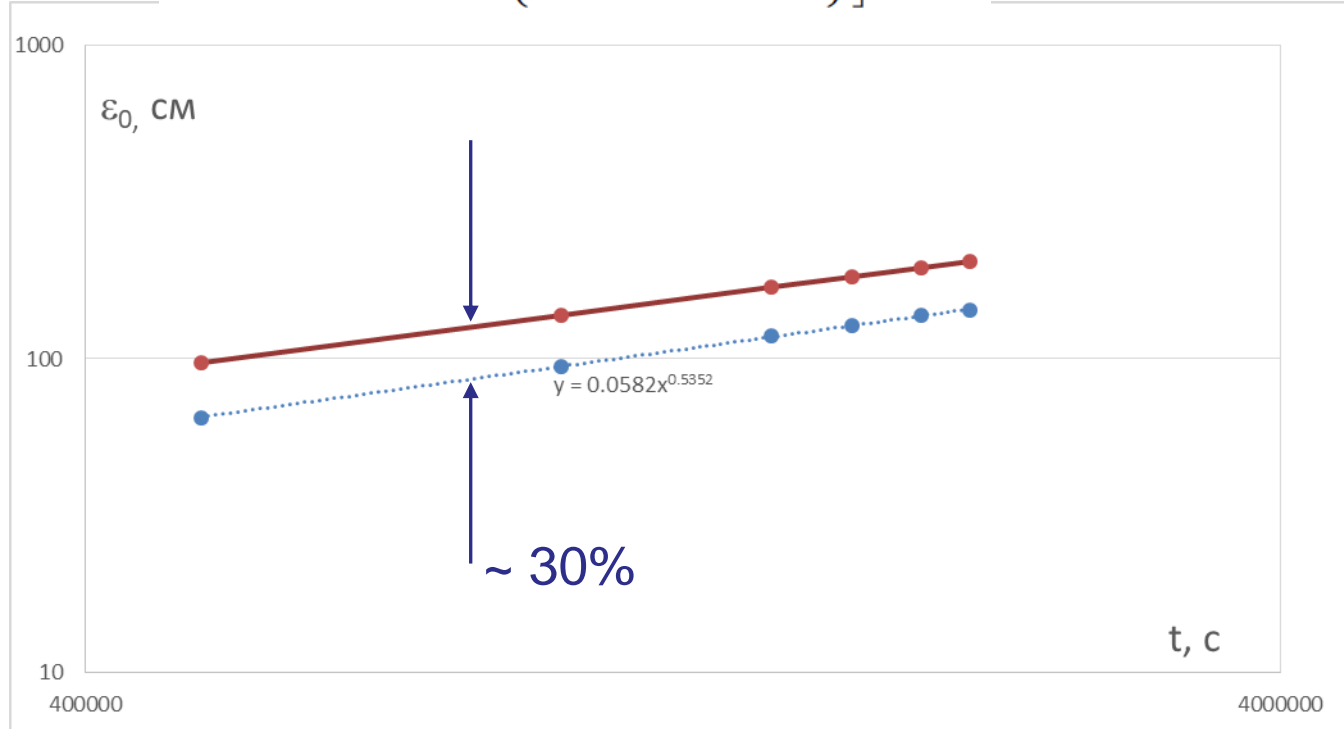
* Lisin, E. A., Vaulina, O. S., Lisina, I. I., & Petrov, O. F. (2022). Motion of a self-propelled particle with rotational inertia. *Physical Chemistry Chemical Physics*, 24(23), 14150-14158.



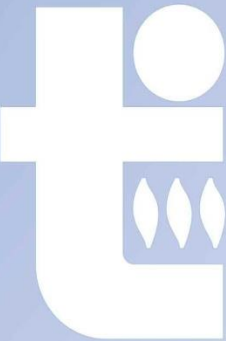
Область локализации

Diffusive-active-free-underdamped

$$\langle x_p^2(t) \rangle = \frac{2D_p t}{\omega^2 - \nu_{fr}^2} \left[\omega^2 \left\{ 1 + \frac{\exp(-\nu_{fr}t) - 1}{\nu_{fr}t} \right\} - \nu_{fr}^2 \left\{ 1 + \frac{\exp(-\omega t) - 1}{\omega t} \right\} \right]^*$$



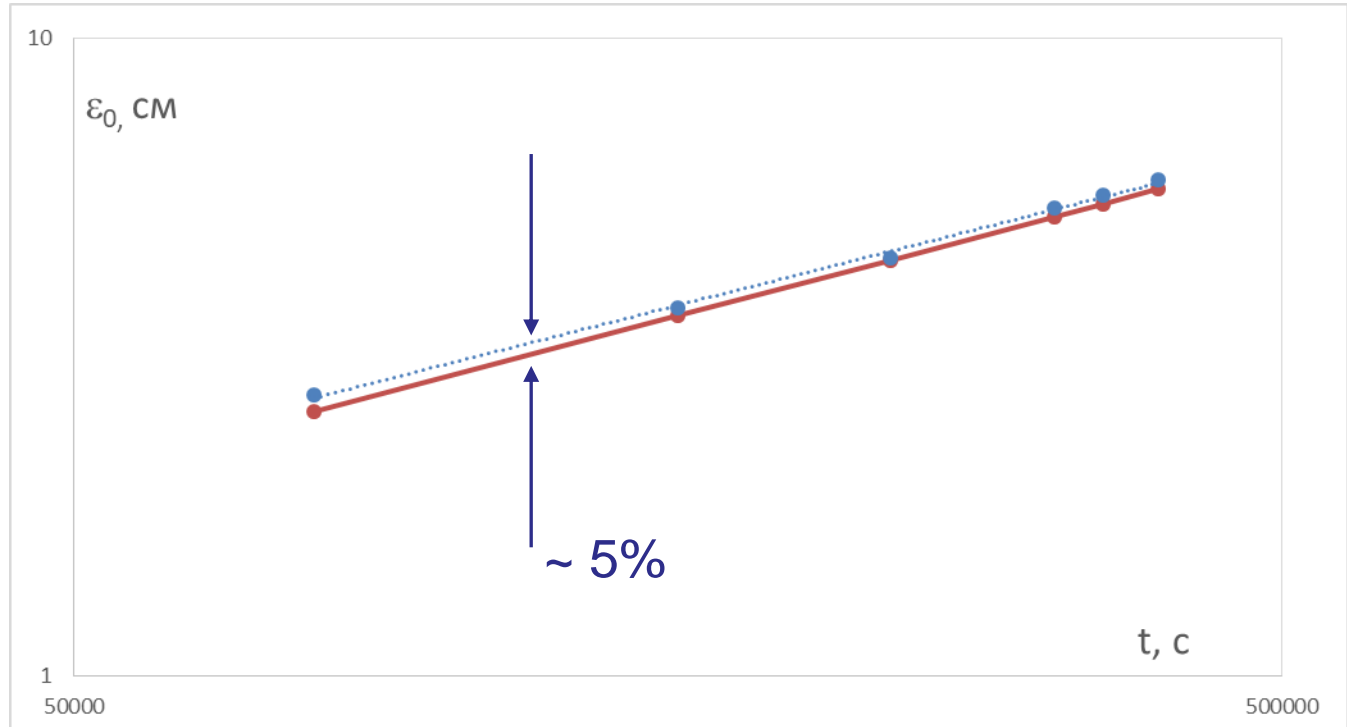
* Lisin, E. A., Vaulina, O. S., Lisina, I. I., & Petrov, O. F. (2022). Motion of a self-propelled particle with rotational inertia. *Physical Chemistry Chemical Physics*, 24(23), 14150-14158.



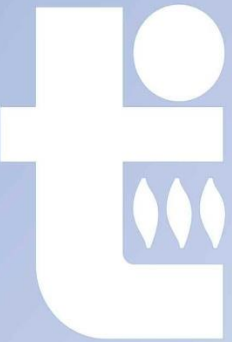
Область локализации

Diffusive-active-free-overdamped

$$\langle x_{\text{P}}^2(t) \rangle = \frac{2D_{\text{P}}t}{\omega^2 - \nu_{\text{fr}}^2} \left[\omega^2 \left\{ 1 + \frac{\exp(-\nu_{\text{fr}}t) - 1}{\nu_{\text{fr}}t} \right\} - \nu_{\text{fr}}^2 \left\{ 1 + \frac{\exp(-\omega t) - 1}{\omega t} \right\} \right]^*$$



* Lisin, E. A., Vaulina, O. S., Lisina, I. I., & Petrov, O. F. (2022). Motion of a self-propelled particle with rotational inertia. *Physical Chemistry Chemical Physics*, 24(23), 14150-14158.



Заключение

- Проведено численное моделирование динамики одиночной коллоидной броуновской частицы на плоскости.
- Рассмотрены различные режимы движения частицы:
 - пассивное / активное,
 - в периодических граничных условиях / в гармонической ловушке,
 - с малым / большим трением,
 - диффузионный / баллистический.
- Фрактальная размерность траектории частицы и область её локализации вычислены из динамической энтропии первого пересечения.
- Выдвинуто предположение, что корректная оценка фрактальной размерности траектории имеет место лишь для “диффузионного” режима, т.е. для $v_{fr}t \gg 1$.

**Спасибо
за
внимание!**